

MÉTODO DE PROBABILIDADES DE TRANSIÇÃO APLICADO À DEFINIÇÃO DE CAMADAS LITOLÓGICAS PARA O DESENVOLVIMENTO DE MODELOS NUMÉRICOS DE FLUXO DE ÁGUAS SUBTERRÂNEAS

Rodrigo Maciel Grossi ¹
Alexandra Vieira Suhogusoff ¹
Luiz Carlos Kauffman Marasco Ferrari ¹

¹ IGc-USP - Instituto de Geociências da Universidade de São Paulo. grossirm@usp.br
CEPAS / IGc-USP - Centro de Pesquisas de Águas Subterrâneas. Rua do Lago, 562, São Paulo (SP).
suhogusoff@usp.br; luiz.ferrari@modcom.com.br

Palavras-Chave: Probabilidades de Transição e Cadeias de Markov; Camadas Litológicas; Modelagem Numérica de Fluxo de Águas Subterrâneas.

INTRODUÇÃO

A construção de modelos numéricos de fluxo de águas subterrâneas depende essencialmente da criação de condições de contorno que delimitem um domínio espacial sob o qual se aplicam padrões de estresse hídrico condizentes com o cenário de interesse. Outra função das condições de contorno, objeto em discussão neste artigo, é estabelecer regras para a distribuição de parâmetros dentro da área modelada, subdividindo o diagrama tridimensional de blocos a ser criado em camadas ou pacotes de dados representando suas diferentes litologias. Estabelecer condições de contorno apropriadas para ambientes de elevada heterogeneidade é uma etapa crucial do processo de modelagem, porque variações de muitas ordens de magnitude são comuns em parâmetros como a condutividade hidráulica, capazes de alterar de maneira drástica a direção do fluxo ao torná-lo praticamente horizontal em aquíferos, e vertical em aquitardes (Freeze & Cherry, 1975).

Quando os dados assim o permitem, análises variográficas tem trabalhado distribuições lognormais de condutividade hidráulica, ou ainda, tem utilizado simulações estocásticas para lidar com ambientes mais heterogêneos, porém suas realizações limitam-se apenas à reconstituição de ambientes de máxima entropia ou aleatoriedade (Fogg *et al.*, 2000).

Fortuitamente, recentes avanços da geoestatística de fácies descontínuas (De Marsily *et al.*, 2005) vem se destacado por seu maior alinhamento à identificação e consequente replicação de padrões de deposição de materiais sedimentares que, apesar de complexos, são organizados (Galloway, 1996). Tratam-se das conhecidas rotinas das Probabilidades de Transição e Cadeias de Markov $T(h)$, agora associadas à procedimentos de krigagem / simulação. Tal método divide-se em três fases de implementação. 01 - Padrões de ocorrência (t_{jk}) são identificados entre as camadas de uma sequência estratigráfica, umas em relação às outras (Davis, 1973). 02 - Padrões antes observados na direção vertical (z) são transferidos às demais direções horizontais (x, y) do plano cartesiano, sob à fundamentação da lei de correlação de Fácies de Walther, na qual: Camadas ou Fácies ocorrendo em conformidade em sucessões verticais assim também o fazem lateralmente, em ambientes adjacentes. 03 - Algoritmos de krigagem se encarregam de transferir os padrões identificados (assim como os estimados) ao modelo estratigráfico, o qual se submeterá à simulações de fluxo.

A equação 1 apresenta (t_{jk}) em substituição à tradicional variância espacial (γ_{jk}), sendo (j, k) as litologias no intervalo de amostragem (h), e p_j as proporções de cada litologia da base de dados (Carle, 1999).

$$2\gamma_{jk}(h) = p_j [2t_{jk}(0) - t_{jk}(h) - t_{jk}(-h)] \quad (\text{Equação 1})$$

Este trabalho propõem a descrição de $T(h)$ pelo módulo Tprogs (*Transitional Probability Software*) do programa Aquaveo GMS / ModFlow, para posteriormente aplicá-lo à um estudo de caso na bacia de São Paulo, SP. Como interpretações geológicas são também necessárias à implementação desta metodologia, narram-se ainda, mesmo que brevemente, conceitos da sedimentologia pertinentes à criação do modelo conceitual.

Esse relativamente recente enfoque da geoestatística e da estratigrafia quantitativa destaca que:

- Resultados consistentes superam as práticas automatizadas de interpolação usualmente utilizadas na impossibilidade de se estruturar variogramas espaciais de restritas bases de dados, comuns em cenários de investigação de passivos ambientais;
- Suas simulações honram, simultaneamente, base de dados e as expectativas do modelo deposicional (formato e razões largura / profundidade das camadas previstas para a formação em estudo). Tal conjunção de dados quantitativos e qualitativos expande a capacidade de amostragens unidirecionais (poços de investigação somente na vertical) de serem utilizadas na criação de modelos tridimensionais.

PROCEDIMENTO MATEMÁTICO APLICADO

O procedimento de identificação de padrões (t_{jk}) das probabilidades de Transição $T(h)$ passa por quatro etapas (Figura 1, a - d), como pode ser visto em termos genéricos, porém aplicáveis para reais bases de dados. Observa-se em (a) Um poço sintético, binário, de 32 unidades de comprimento total, amostrado à intervalos fixos (Δh) e subsequentes (n^o . de passos h); Duas litologias de comprimentos constantes ($A=8$ e $B=4$ unidades) ocorrem intercaladas na direção vertical. (b) Frequências de Transição ($F_1, F_2, F_3, \dots, F_n$) resultam da simples disposição matricial do somatório das ocorrências individuais no intervalo de amostragem escolhido, por exemplo ($f_{1aa(\Delta h=1)} = 8 \times 3 = 24$). (c) Matrizes de Probabilidades de Transição ($T_1, T_2, T_3, \dots, T_n$) são resultado da divisão dos índices da matriz $|F|$ pelo somatório em linha, por exemplo $t_{2aa} = 21/(21+2) = 91\%$. (d) Finalmente, transiogramas representam o conjunto $|T_{1,2,3, \dots}|$, separado por seus índices $\{t_{AA}, t_{AB}, t_{BA}, t_{BB}\}$.

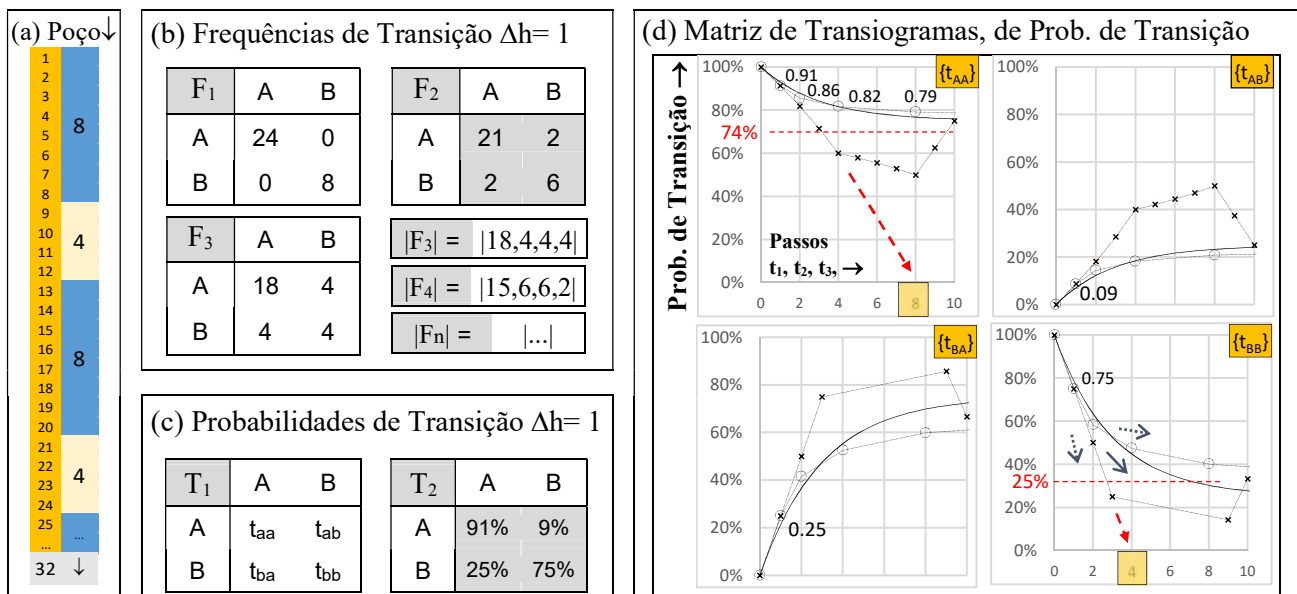


Figura 1: (a) Poço de observação; (b) Frequências de Transição; (c) Probabilidades de Transição; (d) Transiogramas e ajuste de três tipos de curvas: experimentais, independentes e condicionadas.

Proporções médias ($p_A = 74\%$ e $p_B = 25\%$) ocorrem no patamar das curvas da diagonal principal (t_{AA}, t_{BB}) estabilizando-se no infinito ($\Delta h_{1, 2, 3, \dots} \rightarrow \infty$). Comprimentos médios ($L_A=8$ e $L_B=4$ unidades) ocorrem na extensão dessas curvas até o eixo das abscissas, para o intervalo de amostragem tendendo a zero ($0 \leftarrow \Delta h$).

São três os possíveis ajustes das curvas dos transiogramas (indicadas pelas setas em t_{BB} da Figura 1d):

- Curvas experimentais são traçadas diretamente do conjunto de dados originais $|T|$, normalizados de $|F|$.
- Curvas independentes advêm da potenciação cadenciada de T_2 ($\Delta h=1$), processo a ser descrito (Figura 2).
- Curvas condicionadas representam o ajuste capaz de efetivamente delinear o comportamento dos dados ou a continuidade do fenômeno espacial sob análise à qualquer distância de amostragem, como uma curva contínua ou de extensão fracionada / decimal (h) (Carle, 1999).

Durante o processo interpretativo, as curvas contínuas que mais se ajustam às curvas experimentais são avaliadas, variando-se intervalos iniciais de observação ([re]amostragens $\Delta h=1, 2, 3\dots$). E de uma única equação matemática que descreve simultaneamente, e a passos contínuos, todas as curvas condicionadas, assim como suas inferências nas outras direções (x, y), realiza-se o processo de krigagem / simulação.

Na Figura 2, voltando-se ao traçado das curvas independentes, observa-se a matriz $[T_2(\Delta h \rightarrow 0)]$ passando por um processo de crescente potenciação / exponenciação (T^1, T^2, T^4) até atingir sua máxima potência (T^e), o qual culmina pela estabilização das grandezas entre os índices de cada matriz original $[T_2]$.

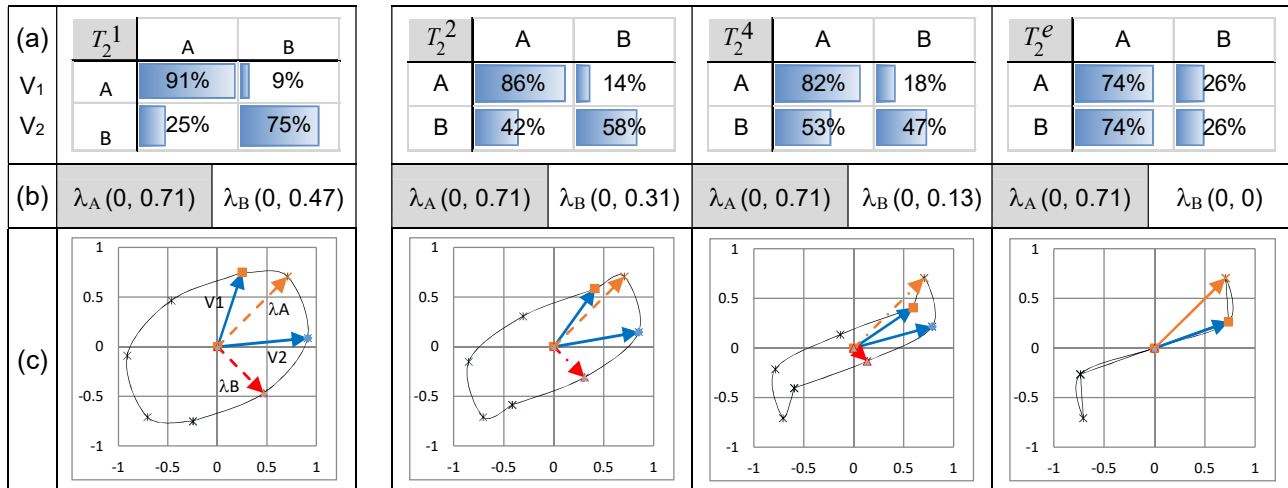


Figura 2: Potenciação de $[T_2(\Delta h=1)]$. (a) Matrizes originais (b) Autovalores (c) Resultado em planta 2D.

Ainda da Figura 2, da álgebra linear qualquer matriz $[T_2]$ pode ser reconstruída em formato canônico por seus autovalores ($\lambda_{A,B}$) e autovetores. Tal abordagem é elucidativa ao se observar todo o conjunto como distâncias físicas no plano cartesiano (Davis, 1973), ambos os vetores (a) $V_1(t_{11}, t_{12})$ e $V_2(t_{21}, t_{22})$ e suas correlacionados componentes singulares (b) λ_A, λ_B , derivados da matriz original $[T_2]$. De forma que percurso ao longo da citada potenciação pode ser observado pelo achatamento cadenciado de elipses imaginárias (c) ligando todos os pontos. O leitor que comparar as Figuras 1 e 2 inadvertidamente encontrará os mesmos dados representando as curvas independentes. Por exemplo, $t_2(aa)^{1,2,4,8,\dots,e} = 91\%, 86\%, 82\%, 79\%$, e finalmente 74%.

O foco da metodologia não está na krigagem/simulação, mas no ajuste de curvas condicionadas (contínuas ou explícitas (T_e)), aos dados observados (na direção vertical, por exemplo). Sendo seus resultados dependentes ainda da interpretação geológica do ambiente sedimentar via aplicação de coeficientes de Walther (Langousis *et al.*, 2018) para transposição das estimativas (z) nas direções (x) e (y).

Fundamenta-se o traçado das curvas contínuas pelo teorema de Bayes da probabilidade condicional. Sustenta esse teorema que novas informações alteram os resultados de novas estimativas, portanto o procedimento de análise (desenho da curva teórica) a cada novo metro de sondagem precisa de um mecanismo que considere o crescente aporte de informações. As curvas condicionais possibilitam a identificação de padrões de comportamento, evitando a aleatoriedade das curvas independentes. Destacando, por exemplo, a maior probabilidade de BB ocorrer dentro da base de dados ABBABBBABBBB.

Equações 2 e 3 comparam formato canônico $T(\Delta h)$ e curvas contínuas $T_e(h)$, este último pelo processo de potenciação $[\exp(\cdot)]$. Sendo Z_0 e Z_1 matrizes de coeficientes e componentes espectrais e $\lambda_{i(A)}$ igual a θ_k .

$$T(\Delta h) = \sum_{i=A}^B \frac{\exp(\lambda_i \Delta h)}{\lambda_i} Z_0$$

(Equação 2)

$$T_e(h) = \sum_{k=1}^K \theta_k (\Delta h)^{h/\Delta h} Z_1$$

(Equação 3)

$$T = \begin{bmatrix} t_{AB} & t_{AK} \\ t_{KA} & t_{KK} \end{bmatrix}$$

(Resultado)

A Matriz de Coeficientes Espectrais ($Z_{0(AB)}$) é calculada com facilidade por procedimentos internos também da álgebra linear. Porém a Matriz de Componentes Espectrais ($Z_{1(AB)}$) depende ainda da interpolação

Lagrangiana (Agterberg, 1974, p. 406), capaz de estimar autovalores λ_m intrinsicamente relacionados aos passos contínuos (h), dentro de qualquer intervalo discreto Δh (entre h_1 e h_2). A equação 4 mostra Z_1 como uma razão dos produtórios λ_m (à semelhança dos somatórios), sendo R uma matriz derivada de $T_2(0 \leftarrow \Delta h)$.

$$Z_1(A, B) = \frac{\prod_{m \neq i} (\lambda_m I - R)}{\prod_{m \neq i} (\lambda_m - \lambda_i)} \quad (\text{Equação 4})$$

Assim a potenciação é feita não mais pelos índices originais (t_{2AB}) porém por autovalores, ou seja, as curvas condicionadas conseguem acessar os padrões ou tendências (reais) à serem considerados na krigagem.

E ao transformar dados discretos (Δh) em contínuos (h), tal formulação remete também à oportuna assimetria do modelo estratigráfico, destacada entre $t_{jk}(h)$ e $t_{jk}(-h)$ na Equação 1 (De Marsily et al., 2005). Sendo este um aspecto de interesse para a reprodução de tendências texturais de depósitos sedimentares, como, por exemplo a granodrecrescência ascendente (*finning upward*) de camadas intercaladas mais grossas na base e gradativamente mais finas no topo, explicada pelas variações sazonais e consequente transporte seletivo primeiro de sedimentos pesados (areias) em condições climáticas húmidas, seguidos por siltes e argilas.

RESULTADOS ESPERADOS

Fenômenos naturais, quando devidamente amostrados e caracterizados exibem um aspecto estruturado e outro aleatório (Yamamoto, 2013). Como nas análises de variância espacial, estrutura ou regiões de influência por $Te(h)$ são repassadas para o diagrama de blocos via interpolação. Na Figura 3, seguem resultados preliminares de um site às margens do rio Pinheiros - SP, conceitualmente pensado para camadas rasas (máximo 10m de profundidade) de ambientes fluviais de baixa energia e grande continuidade lateral (x).

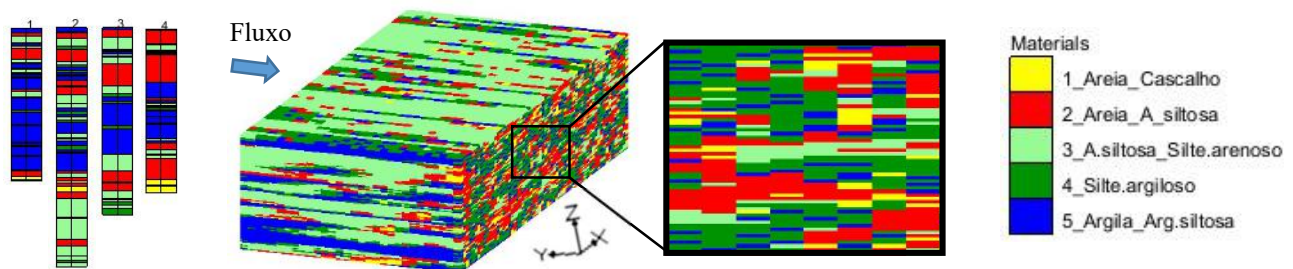


Figura 3: (a) Poços de observação 1,2 3,4; (b) Diagrama de blocos modelado com anisotropia ($x \neq y$)

Apresentou-se o método de identificação de ponderadores para krigagem da condutividade hidráulica (K). Resta averiguar, no estudo de caso, suas consequências na simulação do transporte de partículas e solutos.

REFERÊNCIAS BIBLIOGRÁFICAS

- Agterberg, F. P. 1974. *Geostatistics*. Elsevier, Scientific Publishing Co., Amsterdam, New York, 596p.
- Carle, S. F. T-PROGS. 1999. *Transition Probability Geostatistical Software - Tutorial Version 2.1*. Hydrologic Sciences Graduate Group University of California, Davis. – And precedent works until 1996.
- Davis J. C. 1973. *Statistics and Data Analysis in Geology*, 2º Ed, Wiley & Son.
- Fogg G. E., Carle S., et al. 2000. *Connected-network paradigm for alluvial aquifer system*; Geological Society of America, Special Paper 348.
- Freeze, R. A., & Cherry, J.A. (1979), *Groundwater*. Englewood Cliffs: Prentice Hall, pp.604.
- Galloway W. E., Hobday D. K. 1996. *Terrigenous Clastic Depositional Systems, Applications to Fossil Fuel and Groundwater Resource*, 2nd (second) Edition Hardcover.
- Langousis, A., Kaleris, V., et al. *Markov based transition probability geostatistics in groundwater applications: assumptions and limitations - Stoch Environ Res Risk Assess* (2018) 32: 2129.
- Marsily de, G., Delay, F., et al. 2005 - *Dealing with spatial heterogeneity* - Hydrogeol J13:161.
- Yamamoto, J. K., Landim, P. M. B. *Geoestatística, conceitos e aplicações*. SP: 215 p. 2013.